МИНИСТЕРСТВО ОБРАЗОВАНИЯ УКРАИНЫ ВОСТОЧНОУКРАИНСКИЙ НАЦИОНАЛЬНЫЙ УНИВЕРСИТЕТ имени Владимира Даля СЕВЕРОДОНЕЦКИЙ ТЕХНОЛОГИЧЕСКИЙ ИНСТИТУТ

МЕТОДИЧЕСКИЕ УКАЗАНИЯ

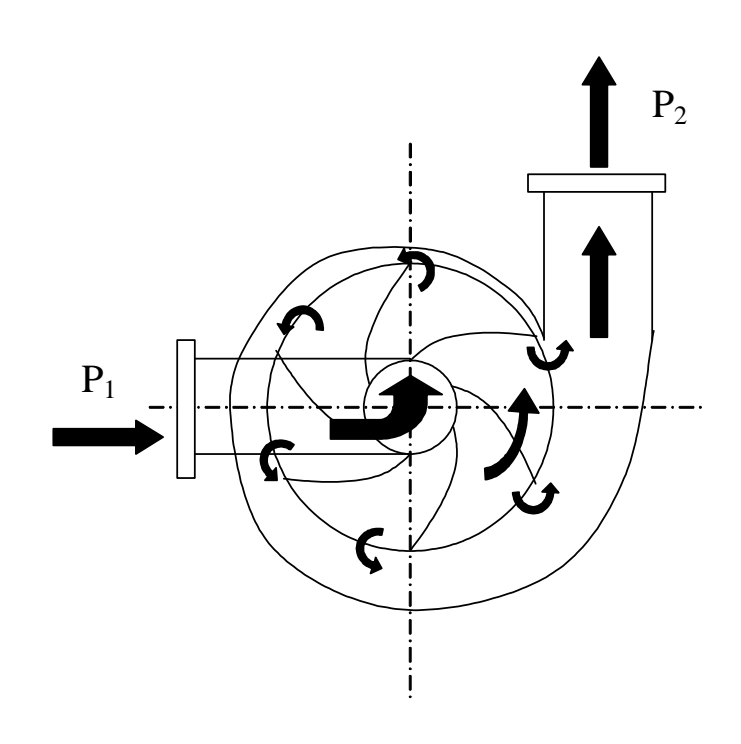
К ВЫПОЛНЕНИЮ КУРСОВОЙ РАБОТЫ

"ПРОЕКТИРОВАНИЕ ЦЕНТРОБЕЖНОГО НАСОСА"

ПО ДИСЦИПЛИНЕ "НАСОСЫ И КОМПРЕССОРЫ"

ДЛЯ СТУДЕНТОВ СПЕЦИАЛЬНОСТИ 7.090220

(ЭЛЕКТРОННОЕ ИЗДАНИЕ)



УТВЕРЖДЕНО на заседании кафедры оборудования химических предприятий протокол № 7 от 7.03.09

Северодонецк 2009

6П5.7 М 74 УДК 621.671

Методические указания к выполнению курсовой работы "Проектирование центробежного насоса" по дисциплине "Насосы и компрессоры" для студентов специальности 7.090220 (электронное издание)/ Сост. В.Б.Модестов, Изд. 3-е, перераб. и доп. - Северодонецк, СТИ, 2009.-23с.

Составитель

В.Б.Модестов, доцент, канд.техн.наук

Ответственный за выпуск

А.И.Барвин, доцент, канд.техн.наук

СОДЕРЖАНИЕ

ИСХОДНЫЕ ДАННЫЕ ДЛЯ ВЫПОЛНЕНИЯ КУРСОВОГО ПРОЕКТА .	5
ВВЕДЕНИЕ	4
1 ОБЩИЕ ПОЛОЖЕНИЯ	4
2 РАСЧЕТ РАБОЧЕГО КОЛЕСА НАСОСА	6
2.1 ВЫБОР КОЛИЧЕСТВА СТУПЕНЕЙ	6 7 7 8 8 ECO8 11 12
4 РАСЧЕТ ОСЕВОЙ СИЛЫ	13
5 ВЫБОР ПОДШИПНИКОВ	14 15 15
6 РЕКОМЕНДАЦИИ ПО ВЫПОЛНЕНИЮ ГРАФИЧЕСКОЙ ЧАСТИ ПРОЕКТА	17
ПРИЛОЖЕНИЕ А	18
ПРИЛОЖЕНИЕ Б	20
ПРИЛОЖЕНИЕ В	21
СПИСОК ЛИТЕРАТУРЫ	23

ВВЕДЕНИЕ

Насосами называют машины для перемещения жидкостей. Наибольшее распространение в химической и других отраслях промышленности получили центробежные насосы. Широкое распространение этих машин обусловлено их высоким К.П.Д., простотой и надежностью конструкции, удобством обслуживания, низкой стоимостью. Отечественной промышленностью освоен выпуск широкой номенклатуры центробежных насосов из различных материалов, в том числе из нержавеющих сталей и даже керамических, поэтому они могут применяться для перекачки коррозионно-активных сред.

Центробежные насосы работают следующим образом: жидкость подводится к центру вращающегося рабочего колеса, под воздействием лопаток происходит закручивание жидкости и увеличение ее абсолютной скорости, затем она выходит в спиральную камеру, окружающую колесо и далее под давлением поступает в трубопровод. В спиральной камере происходит снижение абсолютной скорости жидкости и преобразование за счет этого кинетической энергии в потенциальную.

1 ОБЩИЕ ПОЛОЖЕНИЯ

1.1 Содержание курсовой работы

Курсовая работа состоит из текстовых и графических документов. К текстовым документам относятся:

- а) техническое задание 1 лист ф. А4;
- б) ведомость курсовой работы;
- в) пояснительная записка 15-20 листов ф. А4.

К графическим документам относятся:

- а) чертеж общего вида насоса 1 лист ф. А1 (допускается распечатка на формвте А3;
- б) чертеж колеса насоса 1 лист ф. А2 (допускается распечатка на формвте А3).;
 - в) перечень составных частей на листах формата А4.

Текст пояснительной записки (расчеты) включает разделы 1, 2, 3, 4, 5 данных методических указаний.

Курсовую работу выполнить в соответствии с требованиями методических указаний [5].

1.2 Исходные данные для проектирования Исходные данные для выполнения курсового проекта взять из ниже приведенной таблицы в соответствии с номером студента в журнале группы.

Спроектировать центробежный насос для подачи воды со следующими

характері	ЛСТИКАМИ:		Томпора	
No	Производитель-	Нопор	Темпера-	Повлочио
Nº	ность.	Напор,	тура	Давление
ПО	3		00	в заборн
журналу	м ³ /час	M	воды, °С	емкости, Па.
1	30	30	20	1,01*10^5
2	45	44	30	1,01*10^5
3	25	25	40	1,01*10^5
4	12	40	50	1,01*10^5
5	17	50	60	1,01*10^5
6	33	42	70	1,01*10^5
7	22	40	50	1,01*10^5
8	37	35	70	1,01*10^5
9	28	50	60	1,01*10^5
10	14	20	50	1,01*10^5
11	18	21	40	1,01*10^5
12	44	35	30	1,01*10^5
13	24	30	20	1,01*10^5
14	19	40	50	1,01*10^5
15	32	50	30	1,01*10^5
10	<i>52</i>	50	00	1,01 10 0
16	14	30	60	1,01*10^5
17	34	35	70	1,01*10^5
18	18	50	60	1,01*10^5
19	15	30	50	1,01*10^5
20	20	45	60	1,01*10^5
21	23	30	20	1,01*10^5
22	35	44	30	1,01*10^5
23	18	25	40	1,01*10^5
24	16	40	50	1,01*10^5
25	12	50	60	1,01*10^5
20	12			•
26	29	39	70	1,01*10^5
27	18	33	50	1,01*10^5
28	33	38	70	1,01*10^5
29	24	47	60	1,01*10^5
30	16	25	50	1,01*10^5
				,
31	29	41	70	1,01*10^5
32	23	35	50	1,01*10^5
33	34	40	70	1,01*10^5
34	24	48	60	1,01*10^5
35	16	24	50	1,01*10^5

2 РАСЧЕТ РАБОЧЕГО КОЛЕСА НАСОСА

2.1 Выбор количества ступеней

Допустимый напор одной ступени насоса ограничивается кавитацией. Выпускаемые в настоящее время серийные одноступенчатые насосы имеют напор приблизительно до 50 м вод.ст., поэтому количество ступеней насоса можно определять по формуле

$$Z = \frac{H}{H_{don}},\tag{1}$$

где Н - напор создаваемый насосом, м вод. ст.;

*Н*_{∂ол}-допустимый напор, создаваемый одной ступенью насоса, Н_{доп} принимаем равным 50 м вод. ст.

Полученное значение Z округляем до целого значения в большую сторону.

2.2 Определение коэффициента полезного действия насоса Коэффициент полезного действия насоса определяется по формуле

$$\eta = \eta_{o} \cdot \eta_{e} \cdot \eta_{M} \tag{2}$$

где η_o - объемный коэффициент полезного действия, принимаем η_o =0,88;

 $\eta_{\it e}$ - гидравлический коэффициент полезного действия, принимаем $\eta_{\it e}$ =0,82;

 $\eta_{\scriptscriptstyle M}$ - механический коэффициент полезного действия, принимаем $\eta_{\scriptscriptstyle M}$ =0,82.

2.3 Выбор частоты вращения двигателя

Центробежные насосы небольшой мощности оснащаются асинхронными двигателями, имеющими частоту вращения ротора, в зависимости от числа пар полюсов приблизительно 960, 1470, 2920 об/мин.

Рекомендуется принять частоту вращения ротора двигателя n = 2920 об/мин.

2.4 Определение коэффициента быстроходности насоса

$$n_{S} = \frac{3,65 \cdot n\sqrt{Q}}{H^{3/4}},\tag{3}$$

где n - частота вращения ротора, об/мин;

Q - производительность, M^3/c ;

Н - напор, м вод. ст.

Коэффициент быстроходности позволяет выбрать оптимальный тип рабочего колеса и оптимальное соотношение его геометрических размеров (см. рисунок 1).

2.5 Определение наружного диаметра колеса Наружный диаметр колеса, м, рассчитывается по уравнению

$$D_2 = 2 \cdot k_{u_2} \cdot \frac{\sqrt{2 \cdot g \cdot H}}{\omega} , \qquad (4)$$

где k_{u2} - коэффициент окружной скорости [4]

$$k_{u2} = 1 + 0.1 \cdot \left(\frac{n_s}{100} - 1\right);$$
 (5)

 ω - угловая скорость вращения колеса, рад/с.

2.6 Определение диаметра входного отверстия колеса Диаметр входного отверстия колеса, м, вычисляется по формуле

$$D_0 = D_2/m$$
, (6)

- где m отношение D_2/D_0 , определяемое в зависимости от коэффициента быстроходности n_s (см. рисунок 1).
 - 2.7 Определение расчетной мощности двигателя Расчетная мощность двигателя, Вт, определяется по формуле

$$N = \frac{Q \cdot \rho \cdot g \cdot H}{\eta} \,, \tag{7}$$

где Q - подача, M^3/c ;

 ρ - плотность воды (ρ = 1000 кг/м³);

g - ускорение свободного падения ($g = 9.8 \text{ м/c}^2$);

 η - коэффициент полезного действия.

Установочная мощность двигателя выбирается по формуле

$$N_{-} = \beta \cdot N , \qquad (8)$$

где β =1,3 -коэффициент запаса мощности.

2.8 Определение крутящего момента, действующего на вал Крутящий момент, Н·м, рассчитывается по формуле

$$M = \frac{N}{\omega} \,. \tag{9}$$

2.9 Определение минимального диаметра вала насоса Минимальный диаметр вала, м, рассчитывается по формуле

$$d_{\min} = \sqrt[3]{M/(0,2\cdot[\tau])},$$
 (10)

где [τ] - допустимое напряжение кручения, $1,2 \cdot 10^7 \cdot H/M^2$

Диаметр вала под колесом $d_{\rm e}$ получаем путем увеличения до ближайшего стандартного значения d_{min} рассчитанного по формуле (10). Диаметр ступицы колеса, м, рекомендуется принять равным

$$d_{cm} = 1.3 \cdot d_{o}$$
. (11)

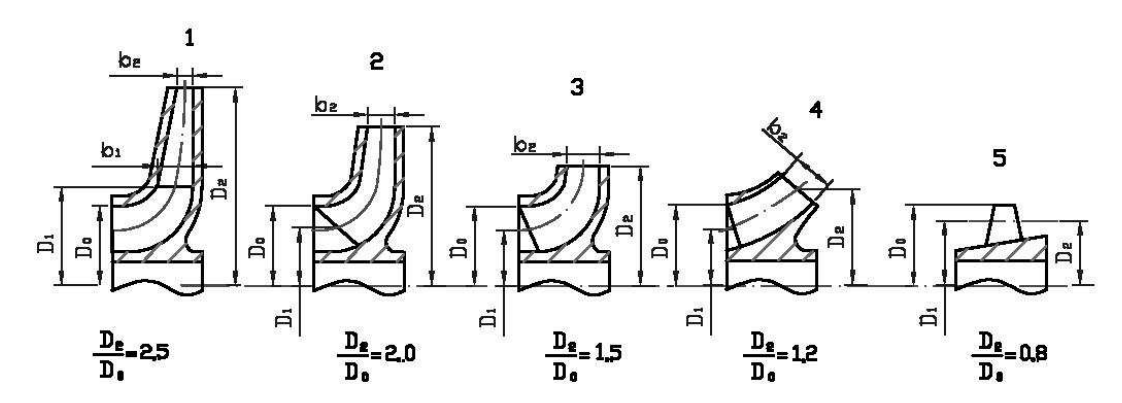
Длину ступицы колеса, м, принять равной

$$L_{cm} = 1.3 \cdot d_{cm} . \tag{12}$$

2.10 Определение осевой скорости входа жидкости в рабочее колесо

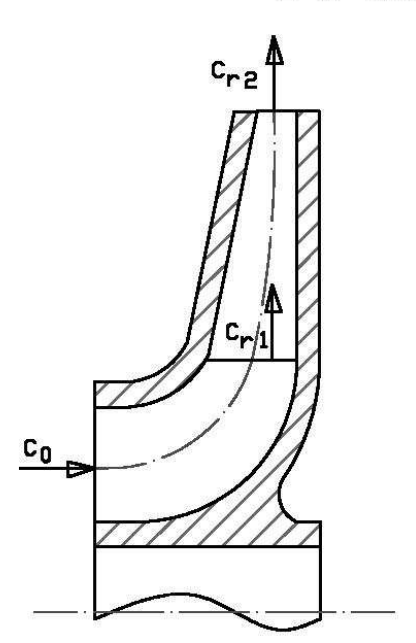
Осевая скорость, м/с, жидкости определяется по формуле

$$c_o = \frac{4 \cdot Q}{\pi \cdot (D_0^2 - d_{cm}^2) \cdot \eta_0},\tag{13}$$

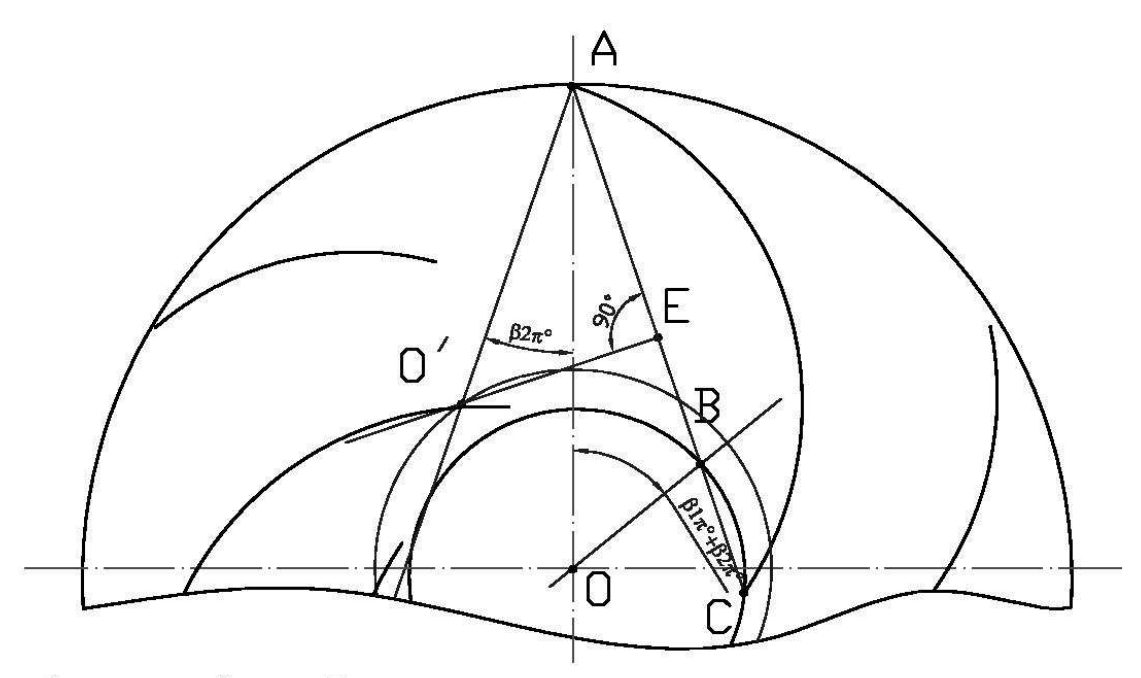


Рисэнок1 - Типы рабочих колес

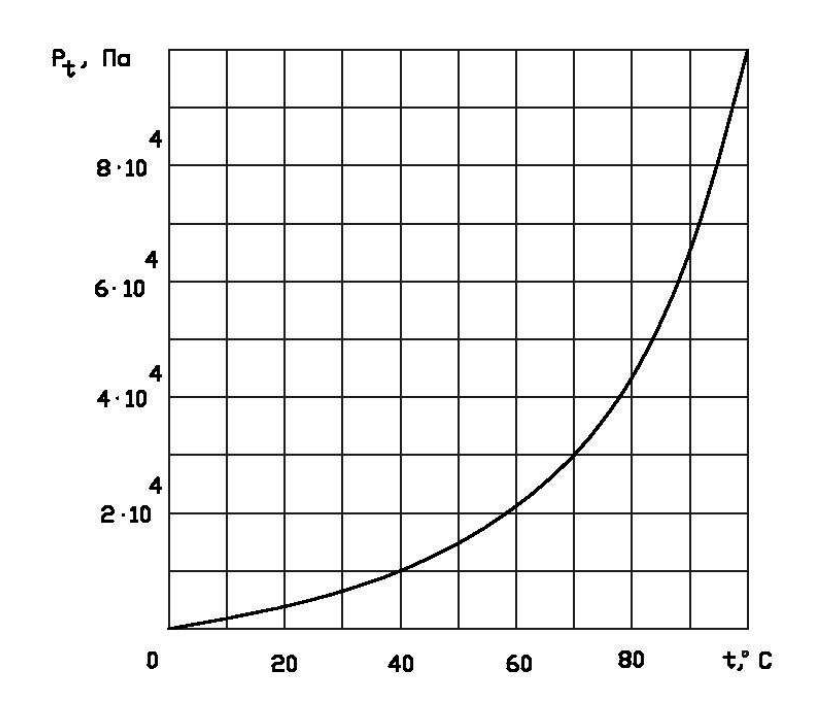
1 - 7	гихоходное	n _s	=	40-80;
5 - 1	нормальное			ر150–80
3 - E	ЭОНДОХОЧТОЫ	ns		150-300;
4 – ,	диагональное	ns	-	300-600;
5 -	осевое	ns	>	600.



Рисэнок2 — Сохранение радиальной составляющей скорости жидкости при ее прохождении через колесо



Рисэнок 3 — Построение средней линии сечения лопасти одной дэгой окрэжности



Рисэнок 4 – Давление насыщенного водяного пара

Если $c_o > 4$ м/с, необходимо принять меньшую частоту вращения колеса и расчет повторить снова, начиная с п. 2.3.

Практикой установлено, что для получения минимальных гидравлических потерь при прохождении жидкости через колесо, последняя должна иметь постоянную скорость относительно колеса, это условие соблюдается в том случае, если

$$C_0 = C_{r1} = C_{r2} = C_r$$
, (14)

где c_{r_1} - радиальная составляющая абсолютной скорости жидкости при входе на лопатки, м/с;

 c_{r2} - радиальная составляющая абсолютной скорости жидкости при выходе с лопаток, м/с;

 c_r - радиальная составляющая абсолютной скорости жидкости в любой точке колеса, м/с;

Кроме того, каналы колеса, по которым происходит движение жидкости, должны иметь плавную форму, без резких изменений углов, не иметь сужений и расширений, способных вызвать изменение относительной скорости жидкости или ее завихрение (см. рисунок 2).

2.11 Определение окружной скорости

Окружная скорость, м/с, на входе в каналы рабочего колеса определяется по формуле

$$u_1 = \omega \cdot D_1 / 2 \,, \tag{15}$$

где D_1 - средний диаметр входа жидкости на рабочее колесо, м

$$D_1 = 1.02 \cdot D_0 - \frac{D_0 - d_{cm}}{2} \cdot \sin\left(90 \cdot \frac{n_s - 40}{600}\right),\tag{16}$$

где D_0 – диаметр входного отверстия колеса, м.

Окружная скорость на выходе из каналов рабочего колеса, м/с

$$u_2 = \boldsymbol{\omega} \cdot D_2 / 2, \tag{17}$$

2.12 Определения ширины лопасти

Принимаем коэффициент стеснения входного сечения межлопаточного канала μ равным 0,9; тогда ширина лопасти на входе, м,

$$b_1 = Q/(\pi \cdot D_1 \cdot c_{r1} \cdot \mu), \tag{18}$$

Ширина лопасти на выходе, м,

$$b_2 = b_1 \cdot D_1 / D_2 \tag{19}$$

2.13 Определение углов $\beta_{1\pi}$ и $\beta_{2\pi}$

Угол между концом лопатки и касательной к окружности на входе в колесо определяется по формуле

$$\beta_{1\pi} = \operatorname{arctg}(c_{1r}/u_1) + i, \tag{20}$$

где i - угол атаки лопасти на входе, принимаем i = 4° .

Угол между концом лопатки и касательной к окружности на выходе $\beta_{2\pi}$ можно принять на 10° больше угла $\beta_{1\pi}$.

3 ОПРЕДЕЛЕНИЕ ДОПУСТИМОЙ ВЫСОТЫ ВСАСЫВАНИЯ

При движении лопастей с большой скоростью в жидкости возможна кавитация. При кавитации жидкость закипает в области пониженного давления на обратной стороне лопаток, затем пар быстро попадает в область высокого давления, где происходит его мгновенная конденсация, при этом возникают гидравлические удары. Кавитация - вредное явление, она снижает к.п.д. насоса, вызывает ускоренный износ колеса и повышенный шум.

Для предотвращения кавитации, необходимо, чтобы давление в любой точке проточной части насоса не было меньше давления насыщенных паров жидкости при данной температуре t° С. Это условие может быть выполнено в том случае, если насос правильно расположен относительно уровня жидкости в заборной емкости.

Допустимую высоту расположения насоса над уровнем воды, м, определяем по формуле:

$$H_{\mathcal{BC}} < \frac{P_O}{\rho g} - \left(\frac{P_t}{\rho \cdot g} + \frac{W_{\mathcal{BC}}^2}{2 \cdot g} + h_{n.\mathcal{BC}} + \delta \cdot H\right),\tag{21}$$

где P_0 - давление в заборной емкости, Па;

 ρ - плотность воды, (ρ = 1000 кг/м³);

 P_t - давление насыщенных водяных паров при температуре t, °C (см. рисунок 4);

 $h_{n.sc}$. - потери напора во всасывающем трубопроводе, принять $h_{n.sc}$ = 0,25 м;

 δ - опытный коэффициент, принять δ = 0,075,

Н - напор, создаваемый насосом, м.

 W_{ec} - скорость во всасывающем трубопроводе, м/с ;

$$W_{\mathcal{BC}} = Q/S_{mp}, \qquad (22)$$

где: Q - производительность насоса, m^3/c ;

 S_{mp} - площадь всасывающего трубопровода, м² (диаметр всасывающего трубопровода принять равным диаметру входного отверстия колеса - D_0);

4 РАСЧЕТ ОСЕВОЙ СИЛЫ

Осевая сила, действующая на рабочее колесо, вызывается, в основном, разностью давлений на его боковые поверхности. Эта сила весьма значительна и направлена в сторону всасывающего патрубка. Для ее уменьшения применяется двусторонний подвод жидкости к колесу, а также различные разгрузочные устройства. Существует также составляющая осевой силы, вызванная изменением направления движения жидкости при прохождении через колесо. Она направлена от всасывающего патрубка и по величине значительно меньше силы, вызванной разностью давлений.

Результирующая осевая сила, P_{oc} , H, определяется по формуле

$$P_{\text{oc}} = \pi \cdot (R_0^2 - R_B^2) \cdot (P_2 - P_1) - \left(\frac{\pi \cdot \rho \cdot \omega^2}{8}\right) \cdot (R_0^2 - R_B^2) \cdot \left[R_2^2 - \frac{(R_0^2 + R_B^2)}{2}\right] - \rho \cdot Q \cdot c_o, \quad (23)$$

где R_0 - радиус входного отверстия колеса, $(R_0 = 0.55 \cdot D_0)$ м;

 $R_{\rm g}$ -.радиус вала, $(R_{\rm g} = 0.5 \cdot d_{\rm g})$ м;

 P_2 - абсолютное давление на выходе насоса, $(P_2 = \rho \cdot g \cdot H + P_0)$, Па;

 P_1 - абсолютное давление на входе в насос, $(P_1 = P_0)$, Па.

В формуле (23) первый и второй члены определяют равнодействующую давлений на боковые поверхности колеса, а третий член - составляющую от изменения направления жидкости.

5 ВЫБОР ПОДШИПНИКОВ

5.1 Определение конструкции вала

Для выбора подшипников необходимо предварительно определить конструкцию вала и составить расчетную схему в соответствии с рисунком 5.

Допустим, например, что диаметр вала под ступицей колеса $d_{\rm e}$ мы приняли по п.2.13. $d_2=20$ мм, а длину ступицы $L_{\rm cm}$ равной 35 мм. Вал должен иметь буртик для упора колеса, поэтому следующий участок вала сделаем диаметром $d_1=25$ мм. Длину этого участка должна быть достаточной для размещения сальника и крышки подшипника, рекомендуется принять ее равной $4\cdot L_{\rm cm}=140$ мм. На следующем участке вновь уменьшаем диаметр вала до $d_2=20$ мм, чтобы получить буртик для упора подшипника. Расстояние между центрами подшипников рекомендуется также принять равным $4\cdot L_{\rm cm}$, то есть 140 мм. На конец вала будет посажена полумуфта для передачи крутящего момента. Примем диаметр этого участка равным 18 мм, а длину — 60 мм.

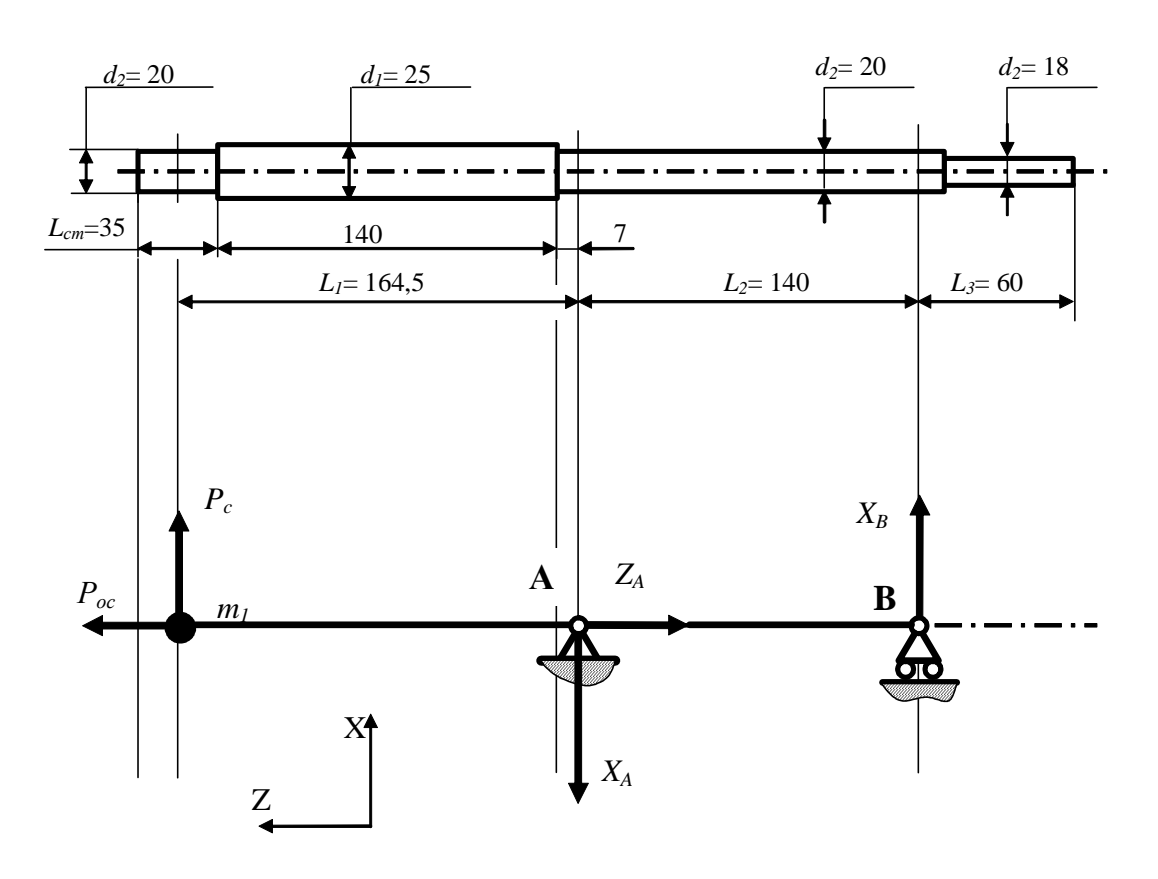


Рисунок 5 - Расчетная схема внешних сил, действующих на вал

5.2 Определение опорных реакций

Центробежная сила, действующая на колесо, Н

$$P_C = \Delta \cdot \omega^2 \,. \tag{24}$$

где Δ - дисбаланс колеса, вычисляемый по уравнению Δ =0,68· D_2 ³, кг⁻м.

Из практики эксплуатации центробежных насосов известно, что динамические силы намного превышают силы веса, действующие на ротор, поэтому последние, обычно, не учитывают.

В соответствии с принятой расчетной схемой (рисунок 5) составляем систему уравнений (25) и определяем опорные реакции X_A , X_B , Z_A , H

$$\begin{cases} \Sigma X = P_c - X_A + X_B = 0; \\ \Sigma Z = P_{oc} - Z_A = 0; \\ \Sigma M_B = P_c \cdot (L_1 + L_2) - X_A \cdot L_2 = 0. \end{cases}$$
 (25)

5.3 Определение нагрузок, действующих на подшипники

Сравнивая нагрузки, действующие на подшипники опор А и В, приходим к выводу, что в более опасных условиях работают подшипники опоры А, поскольку на нее действует большая радиальная нагрузка, и, кроме того, имеется реакция от действия осевой силы. Поэтому приведенную нагрузку будем определять для подшипника опоры А

$$Q = (X \cdot K_k \cdot R + Y \cdot A) \cdot K_{\sigma} \cdot K_T, \qquad (26)$$

где: X – коэффициент радиальной нагрузки;

 K_{k} – коэффициент вращения, при вращающемся внутреннем кольце K_{k} =1;

R – радиальная нагрузка, $R = X_{A_1}$ кH;

У – коэффициент осевой нагрузки;

A – осевая нагрузка, $A=P_{oc}$, кH;

 K_{σ} – коэффициент безопасности, 1,5;

 K_T – температурный коэффициент, 1,0.

Коэффициенты X и Y зависят от отношения $\frac{A}{C_0}$, от величины влия-

ния осевого нагружения е - они приведены в приложении В. Для определения этих величин необходимо предварительно задаться типом и

размером подшипника. Из конструктивных соображений принимаем подшипник по диаметру внутреннего кольца.

Для этого подшипника определяем статическую грузоподъемность C_0 по таблице B1, подсчитываем $\frac{A}{C_0}$, по таблице B2 определяем e, под-

СЧИТЫВАЕМ $\frac{A}{K_k \cdot R}$.

Если $\frac{A}{K_k \cdot R} \succ e$, то X=0,56; Y- определяем по таблице B2.

Если
$$\frac{A}{K_{b} \cdot R} \le e$$
, то X=1; Y=0.

Подсчитываем приведенную нагрузку Q, кH, по формуле (26).

Определяем теоретическую долговечность подшипника L_h , час, по формуле

$$L_h = \frac{10^6}{60 \cdot n} \cdot \left(\frac{C}{Q}\right)^{\alpha},\tag{27}$$

где: *n* – частота вращения кольца подшипника, об/мин;

C – динамическая грузоподъемность выбранного подшипника, определяемая по таблице В1, кН.

 α - показатель степени, зависящий от типа подшипника (для шариковых подшипников α = 3).

5.4 Выбор типоразмера подшипника

Задаемся необходимой долговечностью подшипника — L=10000 часов.

Сравниваем L с теоретической долговечностью - L_h .

Если $L \le L_h$, то принятый подшипник имеет достаточную долговечность. Если $L > L_h$, то долговечность подшипника недостаточна, необходимо уменьшить нагрузку на подшипник, например, принять конструкцию колеса с разгрузкой от осевой силы [1]. В этом случае осевую нагрузку A принимают равной нулю и расчет подшипника на долговечность повторяют вновь. Если разгрузки от осевой силы окажется недостаточно, можно взять подшипник более тяжелой серии или установить два подшипника в одной опоре.

Окончательно принимаем подходящий подшипник и записываем его обозначение, например - радиальный однорядный ГОСТ 8338–75, обозначение 204, легкая серия.

5.5 Выбор посадок подшипниковых колец

По принятой расчетной схеме, основной нагрузкой, действующей на ротор, является центробежная сила. Эта сила изменяет свое направление при вращении колеса, поэтому считаем ее циркуляционной.

В этом случае, рекомендуется для внутренних колец подшипников применять посадку с натягом, а для наружных - с зазором. Для диаметра вала принимаем поле допуска *k6*, а для отверстия в корпусе *H7*.

6 РЕКОМЕНДАЦИИ ПО ВЫПОЛНЕНИЮ ГРАФИЧЕСКОЙ ЧАСТИ ПРОЕКТА

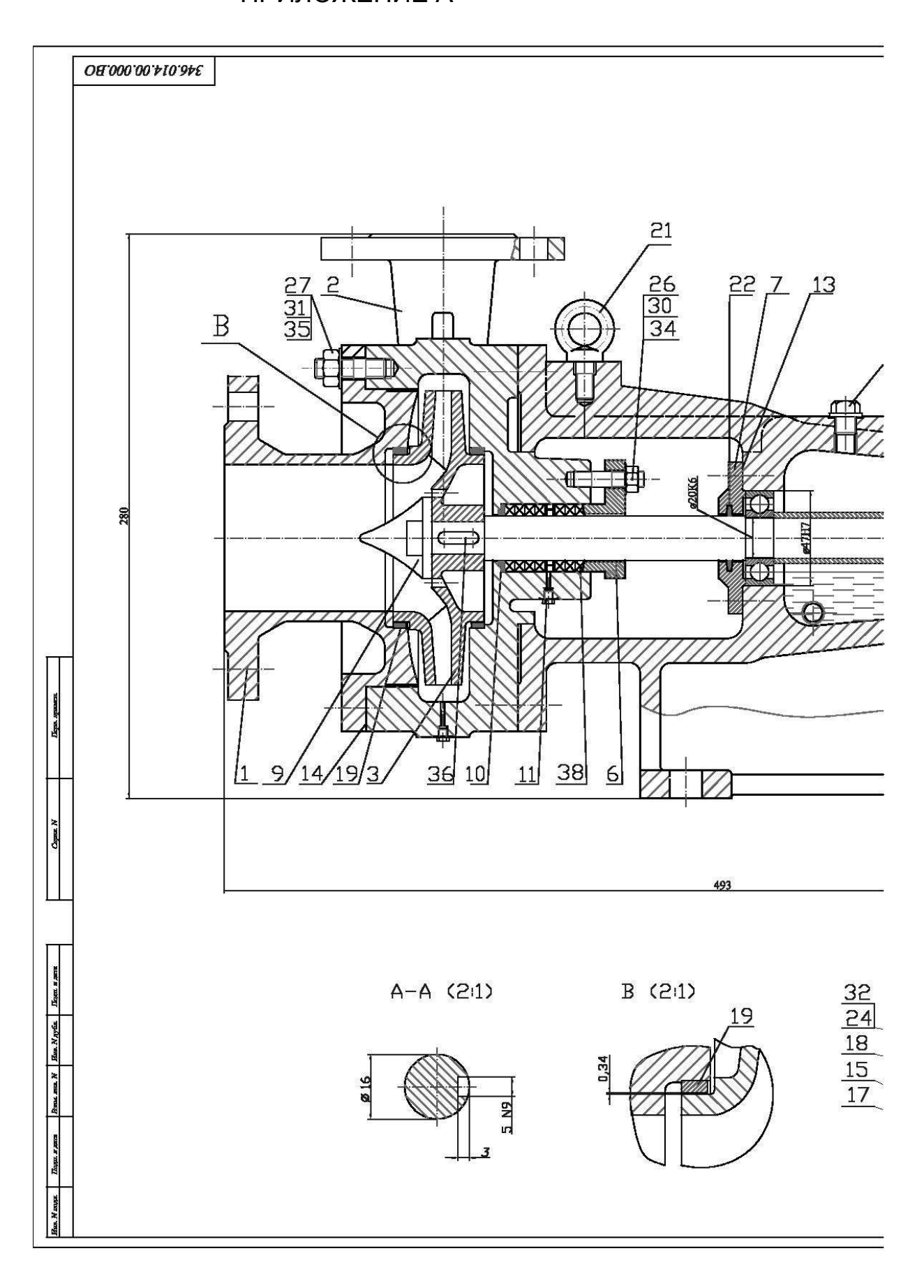
После выполнения расчетной части, можно приступить к выполнению графической части проекта. Конструкция центробежного насоса разрабатывается самостоятельно, при этом за основу может быть взят любой насос. При проектировании нужно представлять себе технологию изготовления, порядок сборки, обслуживания и ремонта насоса. Пример выполнения графической части проекта приведен в приложениях А и Б.

Метод построения профиля лопаток дугой окружности показан на рисунке 3.

Последовательность построения профиля лопаток следующая:

- -вычертить окружности R_1 и R_2 с центром в точке $O(R_1=D_1/2; R_2=D_2/2);$
- -провести через центр O горизонтальную и вертикальную оси, точку пересечения вертикальной оси с окружностью радиуса R_2 обозначим A;
- -отложить от вертикальной оси углы, $\beta_{2\pi}$ с вершиной в точке A и $\beta_{1\pi}$ + $\beta_{2\pi}$ с вершиной в точке O;
- -найти точку B пересечения окружности R_1 со стороной угла $\beta_{1\pi}+\beta_{2\pi}$;
- -провести прямую через точки A и B и найти точку C ее пересечения с окружностью радиуса R_1 ;
- -найти точку *E* на середине отрезка *AC* и провести через нее перпендикуляр к *AC*;
- -найти точку O'на пересечении двух линий перпендикуляра к AC, проходящего через E и линии проходящей через A под углом $\beta_{2\pi}$ к OA;
- -радиусом О'А построить профиль лопатки (дуга АС);
- -провести вспомогательную окружность радиусом ОО;
- -разделить окружность OO на несколько частей n, по числу лопаток имеющихся на колесе (обычно n принимают равным 6 или 8), таким образом получается 6 или 8 точек, равномерно расположенных на окружности, причем одной из них является точка O $\stackrel{\checkmark}{,}$
- -из полученных точек радиусом r = OA построить профили остальных лопаток;
- -толщину лопастей назначить конструктивно.

ПРИЛОЖЕНИЕ А



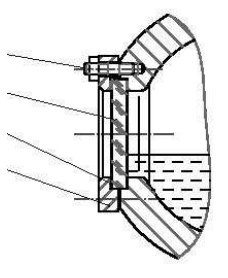
Техническая характеристика

- Насос центробежный, консольный, одноступенчатый предназ ченный для перекачки чистой воды с температурой до 60°C
 Производительность, м /ч
 Напор, м. вод. ст.
 Частота вращения вала, об/мии
 Мощность двигателя, кВт

	12 16 5 20 13 25 288 2 29 33 33 A	<u>3</u>
--	--	----------

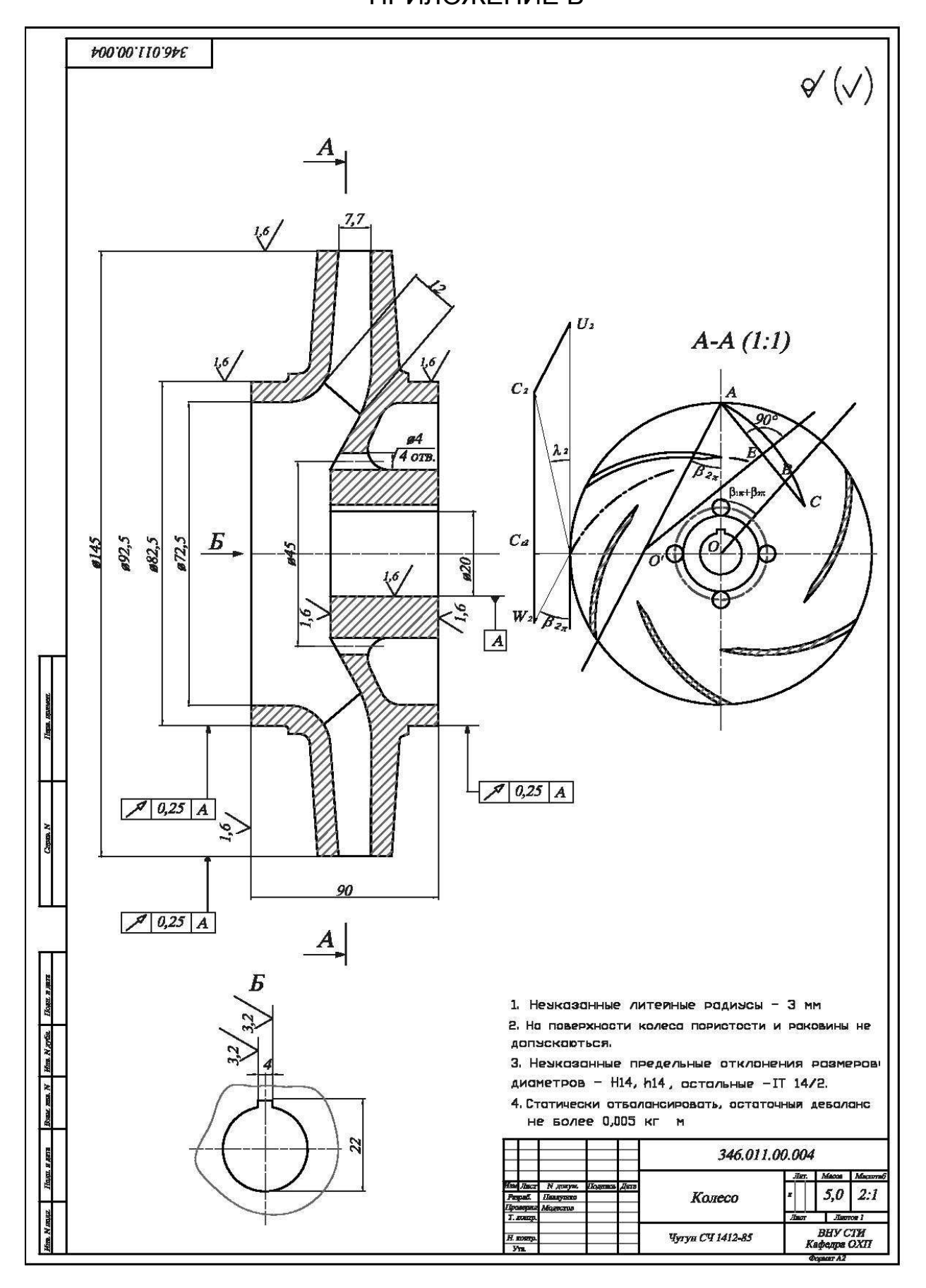
Tos	Обозначение	Наименование	Кол	Macca	Материан	Прим
		Детали				
1		Патрубок	1		C4-18	
2	(6	Улитна	1	\vdash	C4-18	
3		Колесо	1		C4-18	
4	ř.	Вал	7		Cmoss 45	
5	6	Kopnyc	1		C4-18	
6		Нажимная втулка	7		C4-18	
7	6	Крышка	1		C4-18	
8		Кришка	1		C4-18	
9	<u> </u>	Гайка вама	1		Сталь 12X13	
10		Кольцо сальника	1		Cm 3	
11		Пробка	2		C4-18	
12	-	Пробиа	1		CY-18	
13		Прокладка	2		Картан	
14		Прокладка	1		Паронит	
15		Прокладка	2		Картон	
16	*	Втулка	1		Сталь 35	
17	0	Рамка	1		Cm 3	
18	(c	Смотровое стекло	1	\vdash	Стекво	
19		Кольцо	2		Spores Sp 48-9-4	
		vernde	2		4000 9 10 2 7	
		Стандартные изделия				
20	in .	Подчинами 204 ГОСТ 8338-75	2		W.	
21	-	Par-form 100 FDCT 4751-73	1			
22		Кольцо СП 30х22-3	÷			
		FOCT 6308-71	1		*	
23		Кольцо СП 25х16-3	3 3			
		ГОСТ 6308-71	1			
24		Гайка M4.5 ГОСТ 5915-70	4			
25		Faller MB.5 FOCT 5915-70	8			
26		Fatina MIO.5 FOCT 5915-70	2	1		
27	·	Fagua MI2.5 FOCT 5915-70	8			
28	(6	Tetha Mille1,25-H.5 (DCT 5916-70	2			
29	-	Bladde 8.01.02 no 1707 11371-78	8			
30	2	Blassic 10.01.02 on 10.07 11371-78	2			
31	(-	Media 12.01.02 on /OCT 11371-78	8			
32		Brownia Mart 2-58 FDCT 22034-76	4			
33	(6	Harman Ma25.58 / OCT 22034-76	8	\vdash		
34		Manage MOLTS SE (OCT 22034-76	2			
35	<u> </u>	Minusum M2x35.58 FOCT 22034-70	8	H		
36		Uhosen 5:5:40 FOCT 1789-68	1			
		Материалы			77	
38		Hafirita antaures	S			
NO		Набивка сквазново плетения марки	-			
	5	ATIT 6x6 FOCT 5152-84	-			
		THE DESTRUCTOR				

Б-Б (1:1)



0.0	l.			346.014.0	0.00	O.BC)
	entropy (person of the				Jim	: Mac	nos Muceen
Hand Hanger	N докум.	окум. Дожинсь Дети		\Box	1		
Payme.	Жадан			Центробежный насос	T	65	7 1:1
Проворях	Модеотов	8	1 8	Mile Militaria (Miletaria)	8 1000	000	
Г. котр.					Лиот I Лиото		Amoras 2
И готр.					Ι.,		у сти
У ₂₈ .		0				квред	pe OXII

ПРИЛОЖЕНИЕ Б



ПРИЛОЖЕНИЕ В

Рекомендации по выбору подшипников по ГОСТ 8338 – 75

Таблица В.1

Таолиц	μα D.1			T 1	1
Условное обозначе- ние подшипников	d	D	В	Динамическая гру- зоподъемность С, кН	Статическая грузо- подъемность С $_{ m o}$ кН
Условное ние под	Условное ние подш			Динамич зоподъ С	Статичес
	Ocol	бо легк	ая сег	ия 100	
104	20	42	12	7.21	4,45
105	25	47	12	7.75	4.92
106	30	55	13	10,2	4,92 6,88 8,46
107	35	62	14	12,2	8,46
108	40	68	15	10,2 12,2 12,9	9,26
		Іегкая		200	•
204	20	47	14	9,81	6,18
205	20 25	47 52	15	10,8	6,95
206	30	62	16	15,0	10,0
207	35	72	17	19,7	13,6
208	40	80	18	25,1	17,8
209	45	85	19	25,2 27,0	17,8
210	50	90	20	27,0	19,0
211	55	100	21	33,0	20,0
212	60	110	21 22	40,3	30,9
213	65	120	23	44,0	34,0
214	70	125	24	47,9	37,4
215	75	130	25	50,9	41,1
	C	редняя	серия	300	
306	30	72	19	21,6	14,8
307	35	80	21	25,7	17,6
308	40	90	23	31,3	22,3
309	45	100	25	37,1	26,2
310	50	110	27	47,6	35,6
311	55	120	29	54,9	41,8
312	60	130	31	62.9	48,4
113	65	140	33	71,3	55,6
314	70	150	35	80,1	63,3
315	75	160	37	87,3	71,4
316	80	170	39	94,6	80,1

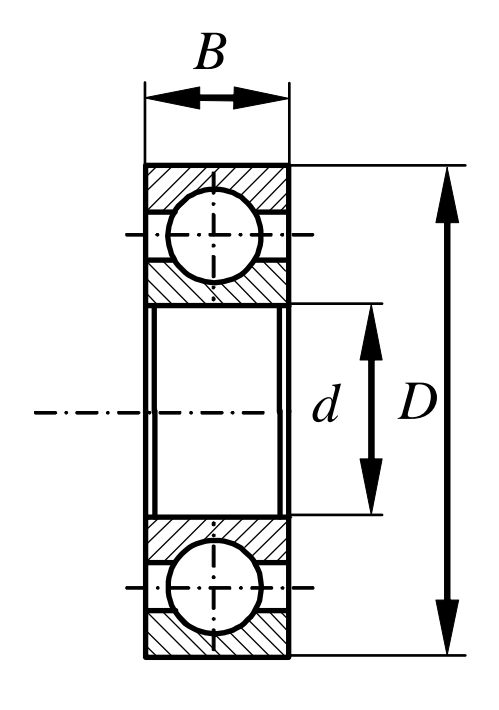


Рисунок В.1 – Основныеразмеры подшипников качения

Таблица В2

Υ	$\frac{A}{C_0}$	е
2,30	0,014	0,19
1,99	0,028	0,22
1,71	0,056	0,26
1,55	0,084	0,28
1,45	0,110	0,30
1,31	0,170	0,34
1,15	0,280	0,38
1,04	0,420	0,42
1,00	0,560	0,44

СПИСОК ЛИТЕРАТУРЫ

- 1. Черкасский В.М. Насосы, вентиляторы, компрессоры. Учебник для теплотехнических специальностей вузов. -М.: Энергия, 1977
- 2. Шерстюк А.Н. Насосы, вентиляторы и компрессоры. Учебное пособие для втузов.-М.: Высшая школа, 1972
- 3. Анурьев В.И. Справочник конструктора машиностроителя. Изд.4-е, перераб.и доп. Кн.1.М.: Машиностроение,1974.
- 4. Сборник задач и примеров расчета по курсу деталей машин. Учебное пособие для машиностроительных техникумов1./Под ред. Г.М. Ицковича и С.А. Чернавского/, Изд. 4-е, перераб. М.: Машиностроение, 1975.
- 5. Методичні вказівки до оформлення курсових та дипломних проектів для студентів спеціальності 7.090220. Сєвєродонецьк, СТІ, 2003. 40 с.

Учебное издание

Методические указания к выполнению курсовой работы "Проектирование центробежного насоса" по дисциплине "Насосы и компрессоры" для студентов специальности 7.090220 (электронное издание)

Составитель Василий Борисович Модестов

Редактор З.Д. Белых
Подписано к печати
Формат 60x84 ½. Бумага типографская. Гарнитура Times.
Печать офсетная. Услов. печат. л Учет изд. л
Тиражэкз. Вид № Заказ № Цена договорная
Издательство Северодонецкого технологического института ВНУ имени Владимира Даля
Адрес издательства: г. Северодонецк, пр-кт. Советский, 59-а Телефон 8(06452) 2-89-78 8(06452) 4-40-48 E-mail STI: sti@sti.lg.ua